

## Reumatología Clínica en imágenes

### Complicación clínica inusual: isquemia aguda de miembro inferior causada por osteocondroma tibial



Unusual clinical complication: Acute lower limb ischemia caused by a tibial osteochondroma

Noelia Alonso-Gómez <sup>a,\*</sup>, Miguel Cuesta-de Diego <sup>b</sup>, Antonio Martínez-Izquierdo <sup>a</sup>  
y Felipe Sáinz-González <sup>a</sup>

<sup>a</sup> Servicio de Angiología y Cirugía Vascular, Hospital Universitario Central de la Defensa Gómez-Ulla, Madrid, España

<sup>b</sup> Unidad Médica Aérea de Apoyo al Despliegue del Ejército del Aire (UMAAD), Madrid, España

#### INFORMACIÓN DEL ARTÍCULO

##### *Historia del artículo:*

Recibido el 14 de noviembre de 2016

Aceptado el 3 de marzo de 2017

On-line el 6 de abril de 2017

Varón, 67 años, obeso, hipertenso y dislipémico, acude a urgencias por dolor, frialdad e impotencia funcional del miembro inferior izquierdo de 24 h de evolución. En la anamnesis cuenta dolor crónico intermitente en rodilla izquierda de larga duración. Una antigua placa simple de rodilla muestra un osteocondroma (fig. 1). Presenta pulso femoral con ausencia de poplíteo y distal. La exploración arterial es normal en la extremidad contralateral. Se solicita angio-TC de miembros inferiores que muestra trombosis de arteria poplítea adyacente al osteocondroma (figs. 2 y 3). Se opta por revascularización con injerto femoropoplíteo de vena safena «in situ» (fig. 4) evitando la tunelización anatómica. Hasta el momento actual, tras 3 años de seguimiento con eco-Doppler el bypass sigue permeable con índice tobillo-brazo 0,9, no objetivando lesión sobre vena poplítea.

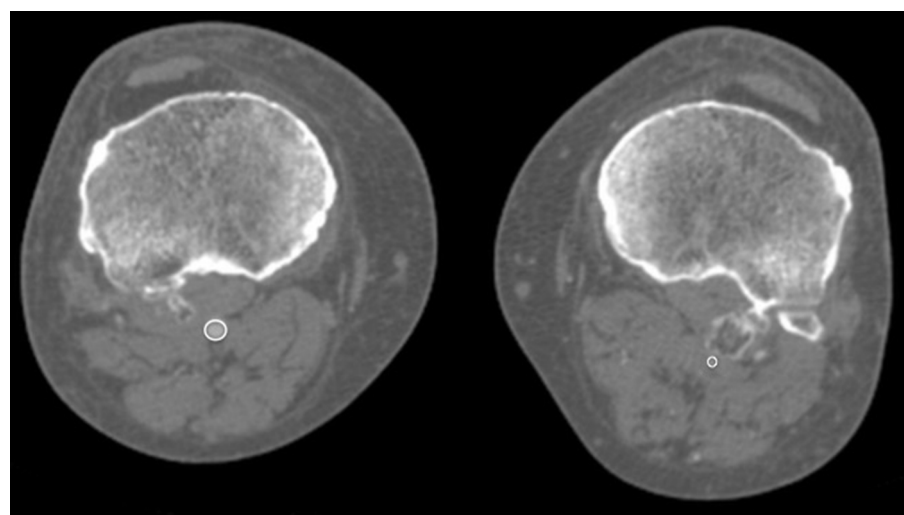
El osteocondroma representa la lesión seudotumoral más frecuente del hueso. La característica radiológica patognomónica de este tumor es la continuidad cortical y medular de las lesiones con el hueso del que surgen<sup>1</sup>. Pueden ser solitarios o múltiples<sup>2</sup>. Entre las complicaciones más frecuentes se encuentra la presencia de deformidad ósea, fracturas<sup>1</sup>, compromiso vascular<sup>3</sup> y neurológico<sup>4</sup>, formación de bursa<sup>5</sup> y malignización<sup>6</sup>. El diagnóstico puede ser realizado con una radiografía, aunque otros métodos de imagen como la ecografía, la TC y la RM pueden ser de utilidad en casos dudosos, ante la aparición de sintomatología o en localizaciones



**Figura 1.** Rx lateral de rodilla: lesión ósea exofítica (flecha) dependiente de la tibia correspondiente a un osteocondroma epifisario.

\* Autor para correspondencia.

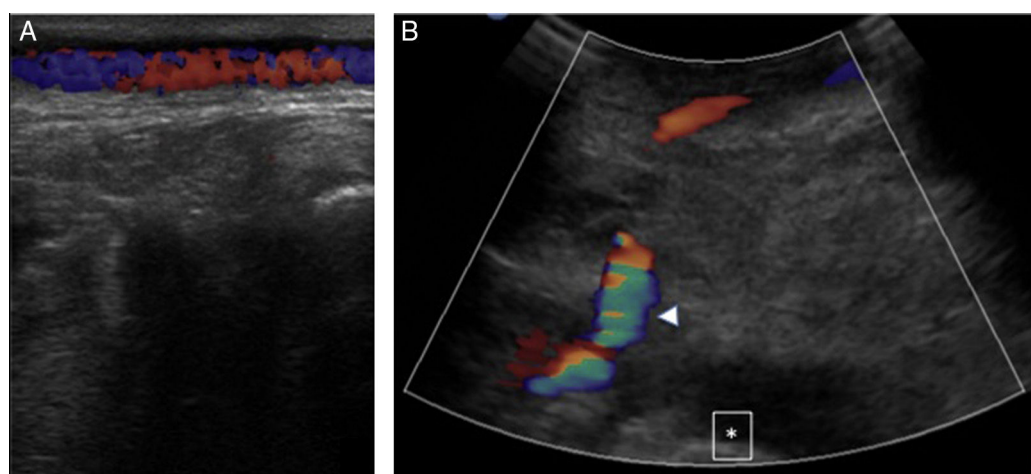
Correo electrónico: [nelinew@hotmail.com](mailto:nelinew@hotmail.com) (N. Alonso-Gómez).



**Figura 2.** Angio-TC de MMII. Corte axial. Desplazamiento posterior de arteria poplítea izquierda (círculos).



**Figura 3.** Angio-TC. Corte sagital. Proyección de máxima intensidad (MIP). Trombosis de arteria poplítea (flecha) con recanalización distal.



**Figura 4.** A y B) Eco-Doppler: control del bypass. A) Trayecto superficial de la VSI «in situ». B) Bypass permeable (punta de flecha). Cóndilo femoral (asterisco).

poco habituales<sup>1</sup>. El compromiso vascular se puede producir por desplazamiento de vasos (arterias y venas), estenosis, oclusión y formación de seudoaneurismas, siendo estos últimos más frecuentes a nivel de rodilla<sup>7</sup>, involucrando a la arteria poplítea o presentarse como trombosis arterial<sup>8,9</sup>, como el caso mostrado. Se ha descrito su presentación como síndrome del opérculo torácico en el caso de lesiones costales<sup>10</sup>.

El conocimiento del espectro de hallazgos radiológicos permite realizar un correcto diagnóstico que ayude a dirigir el manejo del paciente hacia una terapéutica correcta.

### Responsabilidades éticas

**Protección de personas y animales.** Los autores declaran que para esta investigación no se han realizado experimentos en seres humanos ni en animales.

**Confidencialidad de los datos.** Los autores declaran que han seguido los protocolos de su centro de trabajo sobre la publicación de datos de pacientes.

**Derecho a la privacidad y consentimiento informado.** Los autores han obtenido el consentimiento informado de los pacientes y/o sujetos referidos en el artículo. Este documento obra en poder del autor de correspondencia.

### Conflictos de intereses

Los autores declaran no tener ningún conflicto de intereses.

### Bibliografía

1. Murphey MD, Choi JJ, Kransdorf MJ, Flemming DJ, Gannon FH. Imaging of osteochondroma: Variants and complications with radiologic-pathologic correlation. Radiographics. 2000;20:1407–34.
2. Bovée JV. Multiple osteochondromas. Orphanet J Rare Dis. 2008;3:3.
3. Gruber-Szydł K, Poręba R, Belowska-Bień K, Derkacz A, Badowski R, Andrzejak R, et al. Popliteal artery thrombosis secondary to a tibial osteochondroma. Vasa. 2011;40:251–5.
4. Turan Ilici A, Yasar E, Tuba Sanal H, Duran C, Guvenc I. Sciatic nerve compression due to femoral neck osteochondroma: MDCT and MR findings. Clin Rheumatol. 2008;27:403–4.
5. Mahmoodi SM, Bahirwani RK, Abdull-Gaffar BA, Habib IF. Intrabursal vein abrasion and thrombosis. An unusual complication of femoral osteochondroma. Saudi Med J. 2009;30:1604–6.
6. Martin C, Munk PL, O'Connell JX, Lee MJ, Masri B, Wambeek N. Malignant degeneration of an osteochondroma with unusual intra-bursal invasion. Skeletal Radiol. 1999;28:540–3.
7. Raherinanainina F, Rakoto-Ratsimba HN, Rajaonanahary TM. Management of extremity arterial pseudoaneurysms associated with osteochondromas. Vascular. 2016;24:628–37.
8. Khan I, West CA Jr, Sangster GP, Heldmann M, Doucet L, Olmedo M. Multiple hereditary exostoses as a rare nonatherosclerotic etiology of chronic lower extremity ischemia. J Vasc Surg. 2010;51:1003–5.
9. Tanigawa N, Kariya S, Kojima H, Komemushi A, Fujii H, Sawada S. Lower limb ischaemia caused by fractured osteochondroma of the femur. Br J Radiol. 2007;80:e78–80.
10. O'Brien PJ, Ramasunder S, Cox MW. Venous thoracic outlet syndrome secondary to first rib osteochondroma in a pediatric patient. J Vasc Surg. 2011;53: 811–3.